

## مرواری بر کاربرد نانوساختارها بر پایه چارچوب‌های فلز-آلی در جذب و ذخیره‌سازی هیدروژن

هانیه برقی جهرمی<sup>۱</sup>، ماشالله رحمانی<sup>۱\*</sup>، محمد صالح برقی جهرمی<sup>۲\*</sup>

۱- گروه شیمی، دانشگاه علوم، دانشگاه سیستان و بلوچستان، زاهدان، ایران

۲- گروه فنی و مهندسی، دانشکده مکانیک، دانشگاه یزد، ایران

### چکیده

هیدروژن این پتانسیل را دارد که یک منبع انرژی پاک امیدوارکننده برای جایگزینی سوخت‌های فسیلی تجدیدناپذیر باشد. ناتوانی در ذخیره سازی موثر هیدروژن و نگرانی‌های اینمی آن چیزی است که از استفاده از آن به عنوان سوخت جایگزین جلوگیری می‌کند. سیستم‌های جذب هیدروژن فلزی، مانند ذخیره سازی کوچک و مایع، برای استفاده در کاربردهای عملی بسیار گران هستند. چارچوب‌های آلی فلزی (MOFs) مواد کریستالی با سطح وسیع، تخلخل بالا و جذب هیدروژن عالی هستند. جذب فیزیولوژیکی هیدروژن در MOF‌ها توسط یک جاذبه واندروالسی ضعیف انجام می‌شود که به راحتی با مقدار مناسب گرمای فشار قابل برگشت است. نحوه بهبود سطح و همچنین، توانایی MOFs برای جذب هیدروژن مورد بررسی قرار گرفته است. مکانیسم سرریز هیدروژن نشان داده شده است که ذخیره سازی با چگالی بالا در مقایسه با سایر سیستم‌ها ارائه می‌دهد. به منظور تبدیل هیدروژن ذخیره شده به انرژی، MOF‌ها می‌توانند به عنوان غشاها تبدیل پروتون و الکترودهای سلول‌های سوختی مورد استفاده قرار گیرند. از آنجایی که MOF‌ها رسانایی پایینی دارند، ناخالص سازی امکان استفاده از آن‌ها را در سلول‌های سوختی فراهم می‌کند. بنابراین، با تبدیل کردن به سلول‌های سوختی، این فناوری سازگار با محیط زیست می‌تواند به کاهش کربن در محیط‌های صنعتی کمک کند. افزون بر این، ظرفیت هیدروژن برای سوخت برای خودروهای هیدروژنی باید در محدوده (۱۰۰ بار یا کمتر) باشد. روش‌های اولیه‌ای که می‌توانند ذخیره‌سازی هیدروژن را برای استفاده از هیدروژن به عنوان سوخت بهبود بخشدند، همراه با امکان پیشرفت بیشتر برای برآوردن نیازهای انرژی در آینده، در این مطالعه پوشش داده شده است.

**واژه‌های کلیدی:** پارامترهای موثر بر ذخیره‌سازی، چارچوب‌های فلز-آلی، ذخیره‌سازی هیدروژن، مکانیسم، هیدروژن.

ایمیل نویسندهای مسئول: msc.barghi@gmail.com و rahmani341@hamoon.usb.ac.ir

تجدد ناپذیر به طور پیوسته در حال کاهش است، در حالی که تقاضا به شدت افزایش یافته است. آخرین آمار نشان می‌دهد که نفت به اندازه کافی برای ۴۱ سال وجود خواهد داشت. دو اثر از چنین وابستگی بدیع به منابع انرژی تجدید ناپذیر وجود دارد: تسريع تلفات با نرخ هشدار دهنده تولید انرژی و اثرات نامطلوب بهداشتی و زیست محیطی [۱]. مواد برای استخراج هدفمند گازهای گلخانه‌ای از اتمسفر با پالایش مخلوطهای کم انرژی برای مدیریت موثر مواد زائد و ذخیره سوخت‌های خطرناک مانند  $H_2$ ,  $CH_4$ ,  $NH_3$  و غیره در حال بررسی هستند. انرژی هیدروژن (۱۴۰ مگاژول بر

### ۱ مقدمه

سوخت‌های فسیلی به دلیل صنعتی شدن سریع و رشد جمعیت به طور گسترده‌ای برای تولید انرژی استفاده می‌شود. در طول یک قرن، مقدار انرژی مصرف شده هشت برابر شده است و سوخت‌های فسیلی به عنوان منبع اصلی استفاده می‌شوند [۲]. مقادیر عظیمی از گازهای گلخانه‌ای، عمدتاً دی‌اکسید کربن ( $CO_2$ ) و سایر پیامدهای زیانبار زیست محیطی، توسط سوخت‌های فسیلی تولید می‌شوند. تا سال ۲۰۴۰، پیش‌بینی می‌شود که مصرف سوخت‌های فسیلی در جهان تا ۵۶ درصد افزایش یابد [۳ و ۴]. در دسترس بودن منابع انرژی

دینای  
نانو

گاز هیدروژن تولید کنند. الکترولیز آب ترجیح داده می‌شود، چون که هیدروژن سبز تولید می‌کند و انتشار کربن را کاهش می‌دهد.

واحدهای ساختمانی ثانویه (SBU)<sup>۱</sup> و پیوندهای ارگانیک، MOF را تشکیل می‌دهند که می‌توانند برای اهداف ذخیره سازی و کاتالیستی استفاده شوند [۱۲]. سطح BET و تخلخل MOF‌ها در مقایسه با سایر موادی که ممکن است مولکول‌های هیدروژن را ذخیره کنند، مانند CNT، هیدریدها، زئولیت‌ها و کلتراوات‌ها نسبتاً زیاد است. استفاده از مواد مبتنی بر MOF اخیراً فرصت‌های مختلفی را در زمینه‌های جداسازی گاز، کاتالیز، ذخیره انرژی و تبدیل به دست آورده است [۱۳]. هیدریدهای MOF، ناخالصی‌ها و کامپوزیت‌ها به دلیل افزایش مراکز فلزی فعل، با عملکرد و پایداری بهبود یافته مطلوب هستند [۱۴ و ۱۵]. ذخیره گرانشی و ظرفیت ذخیره سازی حجمی متغیرهای حیاتی در جذب هیدروژن هستند [۱۶ و ۱۷]. برای توسعه انرژی هیدروژن و ذخیره سازی H<sub>2</sub> با استفاده از MOFs، تعدادی از یافته‌ها ارزیابی شده است. یک محیط بالقوه برای استفاده در پیل‌های سوختی، هیدروژن است که می‌تواند ذخیره شود. مایع سازی، ظروف تحت فشار، چارچوب‌های فلزی-آلی، جذب کربن و مواد شیمیایی ذخیره هیدروژن در حال حاضر برای ذخیره هیدروژن استفاده می‌شود. در حال حاضر گاز در لوله‌ها تا ۱۰۰ بار ذخیره می‌شود. فناوری‌های قابل فشار تجارتی ذخیره سازی حجمی دسترسی دارند و نیاز به انرژی بالای برای ضعیفی دارند و نیاز به انرژی بالای برای ذخیره سازی دارند. اگرچه MOF‌ها و هیدریدهای شیمیایی توانایی جذب قوی دارند، پژوهش بیشتری برای رسیدن به هدف DOE مورد نیاز است. بودجه دولتی ذخیره سازی و تولید هیدروژن در مقیاس وسیع برای استفاده از آن در کاربردهای عملی ضروری است [۱۸ و ۲۰].

در این مقاله، آخرین پیشرفت‌ها در استفاده از مواد MOF اصلاح شده برای ذخیره سازی هیدروژن بررسی شده است. توضیح داده شده است که MOF‌های دارای ناخالصی، مراکز فلزی و هیدریدهای MOF چگونه می‌توانند هیدروژن را ذخیره کنند. پیشرفت‌ها یا روندهای اخیر در ذخیره سازی حجمی و وزنی هیدروژن در MOFs به طور

کیلوگرم) که نسبت به سایر سوخت‌های فسیلی از جمله زغال سنگ، متان و گاز طبیعی قابل توجه تر است، می‌تواند برای رفع نخایر اولیه محدود، گسترش جمعیت، صنعتی شدن و اثرات منفی آن استفاده شود. در نتیجه، هنگامی که گاز هیدروژن به عنوان سوخت استفاده می‌شود، بخار آب به عنوان یک محصول جانبی این و غیر سمی تولید می‌شود. با تأثیر کم بر محیط زیست و تولید انرژی بالا، انرژی هیدروژن یک منبع بالقوه انرژی برای آینده نزدیک است [۶ و ۷]. گاز هیدروژن سبک ترین گاز شناسایی شده است (چگالی ۰/۰۸۳۸ کیلوگرم بر متر مکعب) [۸]، این می‌تواند یک فناوری ضروری برای توسعه سوخت هیدروژنی برای وسایل حمل و نقل، ثابت و تولید برق باشد. در طول ذخیره سازی به دلیل نیاز به حجم بیشتر به ازای هر مقدار انرژی، چالش‌هایی وجود دارد. با این حال، تکنیک‌های ذخیره سازی مانند ذخیره سازی مایع، فشرده سازی سرمایی، هزینه‌های زیرساختی بالاتر و ظرفیت حجمی پایینی دارند [۹ و ۱۰].

چهارچوب‌های فلزی-آلی از اتصال بین یون‌ها یا کلاسترها و لیگاندهای آلی ساخته می‌شوند؛ از مزایای چهارچوب‌های فلزی-آلی می‌توان به ساختارهای کریستالی منحصر به فرد، اندازه حفره‌های قابل تنظیم، تخلخل مناسب اشاره کرد. طی تجزیه حرارتی که روی MOF‌ها انجام می‌شود، آن‌ها به کربن‌های متخلخل، ترکیب‌هایی بر پایه فلز مانند (اکسیدها، کاربیدها، فسفیدها و سولفیدهای فلزی) تبدیل می‌شوند که از جمله مواد مهم در کاربردهای جذب و ذخیره انرژی هستند.

کشف شده‌است که جذب فیزیکی هیدروژن در چارچوب‌های فلزی-آلی (metal-organic framework) عملی‌تر و پایدارتر از روش‌های تبدیل فاز جایگزین مانند ذخیره سازی فشرده و ذخیره سازی مایع است. MOF‌ها مواد کریستالی با تخلخل بالا و سطوح وسیع هستند که ظرفیت به دام انداختن تعداد زیادی مولکول گاز را در فضای خالی خود دارند. هیدروژن جذب شده را می‌توان با اعمال گرما یا فشار به سرعت جذب کرد، که نیروی واندروالس را بر منافذ MOFs تضعیف می‌کند. این فرآیند گاز هیدروژن را در مقیاس بزرگ در دمای محیط و شرایط فشار بازسازی می‌کند [۱۱]. فرآیندهای رفرمینگ بخار متان، الکترولیز آب و تبدیل به گاز زغال سنگ می‌توانند

<sup>1</sup> secondary building units

<sup>2</sup> Department of Energy

گسترده مورد توجه قرار گرفته است. قبل از بحث در مورد جنبه های موثر بر ظرفیت ذخیره سازی هیدروژن و استفاده در ذخیره سازی هیدروژن، ابتدا مکانیسم ذخیره سازی هیدروژن را بررسی می کنیم. علاوه بر این، برخی از این پیشرفت ها نیاز به ایجاد برنامه های عملی دارند تا حل شوند.

(GMDH-PNN) آبرای پیش‌بینی ظرفیت ذخیره سازی هیدروژن برای MOF ها در مقایسه با شبکه های عصبی مصنوعی (ANN)<sup>۳</sup> استفاده می شود، زیرا از نظر آماری قابل قبول و ساختار ریاضی نهایی مدل را ارائه می کند. متغیر خروجی مدل، ذخیره هیدروژن و متغیر های ورودی آن مساحت سطح، فشار و آنتالپی جذب می باشد. سطح و فشار به ترتیب مهمترین متغیر های ورودی و خروجی مدل هستند. به منظور بهبود ذخیره سازی هیدروژن، فشار MOF و مساحت سطح افزایش می یابد [۲۱]. با توجه به معادله (۱)، قابلیت های جذب هیدروژن بر حسب درصد وزن محاسبه می شود [۲۲].

(۱)

$$wt(\%) = \frac{(mass\ of\ H_2)}{(mass\ of\ MOF + mass\ of\ H_2)} \times 100$$

عملکرد MOF ها با جایگزینی فلزات پس از سنتز، جفت شدن با نیمه هادی ها برای تولید ساختار های ناهمسان، تخلخل بسیار بالا و مساحت سطح بالا بهبود می یابد [۲۳]. مصرف به صورت خطی با مساحت سطح حجمی، فشرده سازی، پالت کردن یا استفاده به صورت یکارچه برای پرکننده های پودری و MOF تک کریستالی افزایش می یابد [۲۴ و ۲۵]. سه نوع MOF که بانانوذرات عامل دار شده اند، با ترتیبی که NPs به سطوح بیرونی MOF اضافه می شوند، متمایز می شوند. برای دسته دوم NP ها، چندین NP به صورت تصادفی در MOF ها توزیع می شوند و برای دسته سوم، یک یا چند NP به طور کامل در پوسته MOF محصور شده اند. افزایش سطح و کارایی ذخیره سازی H2 را می توان با نانوسایز کردن MOF به دست آورد [۲۶]. در فشار بالا، MOF هایی با منافذ بزرگتر از ۱/۵ سانتی متر مکعب بر گرم به احتمال زیاد هیدروژن را جذب می کنند.

طبق تحقیقات طیفسنجی شن و همکارانش [۲۷]، UIO-66 و مشتقات آن دارای سطوح استثنایی از پایداری شیمیایی و حرارتی هستند. رنگ روdamین B به طور همزمان توانایی آن ها برای جذب H2 بهبود می بخشد. استفاده از یک حلal کمکی

در مورد جنبه های موثر بر ظرفیت ذخیره سازی هیدروژن و استفاده در ذخیره سازی هیدروژن، ابتدا مکانیسم ذخیره سازی هیدروژن را بررسی می کنیم. علاوه بر این، برخی از این پیشرفت ها نیاز به ایجاد برنامه های عملی دارند تا حل شوند.

## ۱- نمای کلی و مکانیسم ذخیره سازی هیدروژن مبتنی بر MOF

۱-۱- مروری بر ذخیره سازی هیدروژن در مقایسه با گاز های دیگر با انرژی یکسان در دمای محیط، گاز هیدروژن باید به صورت مایع، فشرده یا به روش های دیگر استفاده شود تا در وسایل نقلیه و برنامه های تلفن همراه استفاده شود. جذب کربن، ذخیره سازی مایع، گاز فشرده و تکنیک های چارچوب آلی-فلزی همگی می توانند برای ذخیره گاز هیدروژن استفاده شوند. به دلیل فشار زیاد، مخازن تحت فشار برای گاز فشرده موردنیاز است که سنگین و نسبتاً حجمی هستند. پرداخت هزینه برای ذخیره سازی و حمل و نقل در محل غیرقابل قبول است. هیدروژن در دمای ۲۵۲ درجه سانتیگراد ذخیره می شود و در یک مخزن عایق نگهداری می شود. در اثر تبخیر، هیدروژن به طور مداوم از بین می رود و برای حفظ آن در حالت مایع انرژی زیادی لازم است. جذب کربن هنوز در مرحله توسعه و تحقیق است. راه عملی برای ذخیره هیدروژن، یکی از این روش ها چارچوب های فلزی-آلی است که به دلیل تخلخل و سطح بالای آن مورد استفاده قرار می گیرد [۶].

## ۱-۲- پتانسیل MOF برای ذخیره سازی هیدروژن

پلیمر های هماهنگ یا چارچوب های فلزی-آلی از پیوندهای آلی و بلوك های ساخته شده اند. نیروی ضعیف واندروالسی که برای ذخیره سازی هیدروژن در MOF ها استفاده می شود، پتانسیل کاهش فشار ذخیره سازی هیدروژن سیستم را دارد. جذب هیدروژن به طور مستقیم با مساحت سطح حجمی و وزنی متناسب است. تکنیک گروهی مدیریت داده - شبکه های عصبی چند جمله ای

<sup>3</sup> group method of data handling - the polynomial neural networks

<sup>4</sup> artificial neural networks

افزایش دهد. بنابراین، کامپوزیت‌های MOF یا MOF با ظرفیت جذب هیدروژن بالا برای ذخیره سازی در تنظیمات دمای محیط مورد نیاز هستند. جدول (۱)، خلاصه‌ای از قابلیت‌های ذخیره هیدروژن چندین MOF را ارائه می‌دهد. با توجه به تخلخل زیاد و مساحت سطح گستردگی MOF‌ها، مواد هیبریدی، کامپوزیت‌ها، کاتالیست‌های MOF با اتم‌های فلزی مختلف و مواد نیمه هادی همگی برای مطالعه اثرات بر قابلیت ذخیره سازی هیدروژن ایجاد شده‌اند. MOF‌های خاصی وجود داشتند که ظرفیت ذخیره سازی هیدروژن بالایی را در ارتباط با MOF‌ها با سطح وسیع نشان نمی‌دادند. از آنجایی که می‌توان از آن به عنوان سوخت خودروهای هیدروژنی استفاده کرد، لازم است هیدروژن را در دمای اتاق ذخیره کرد، اما تهتاً تعداد کمی از MOF‌ها قابلیت جذب موثری را نشان داده‌اند.

جدول ۱. خلاصه‌ای از ذخیره سازی H<sub>2</sub> با MOF‌های مختلف

مرجع	مرجع	کاتالیست MOF	کاتالیست کمکی	مساحت سطح BET (m <sup>2</sup> /g)	جذب H <sub>2</sub> جذب (%) وزنی (%)
۳۱]	[	Fe-BTT	-	2195	4.1
			-	2195	1
۳۲]	[	UIO-66	-	1413	4.6
			-	1413	0.8
۳۳]	[	UiO-66(Zr)	ZTC/PI M-1	1767-2433	1.22-1.87
۳۴]	[	NOTT-400,	-	1350	3.84
۳۴]	[	NOTT-401	-	1515	4.44
۳۵]	[	ZIF-8,	Mg	118.45	-
		ZIF-67,	Mg	33.572	5.3
		MOF-74	Mg	19.057	-
۳۶]	[	Zr-MOF	rGO	1480	1.8
۳۷]	[	Zn (1,4-BDP),	-	1710	1.6
			-	1710	4.7
		Zn (1,3-BDP)	-	820	1.6
			-	820	2.1
۳۹]	[	MOF-650	Mg/Cae B(OH) <sub>2</sub>	-	10
۴۰]	[	MOF-5	-	2136	5
۴۱]	[	CS-900,	-	1410	2
		CS1000,	-	1629	2.2

(CH<sub>3</sub>CN) برای افزایش تکامل H<sub>2</sub> پیدا شده است. ایجاد H<sub>2</sub> با ناخالص سازی MOF با Ti، Pd و Pt، GO افزایش یافت. بنابراین، انتخاب مجموعه بهینه کاتالیست‌ها برای اطمینان از سازگاری با محیط زیست و مقرر بودن آن‌ها بسیار مهم است. با استفاده از معادله (۲)، مقدار انرژی مورد نیاز برای جذب هیدروژن به شرح زیر تعیین می‌شود [۲۷]:

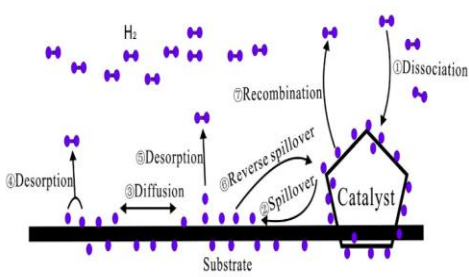
(۲)

$$E_{ad} = \frac{E_{tot}(Connector+nH_2) - E_{tot}((Connector)-nE_{tot}(H_2))}{n}$$

که در آن  $E_{tot}$  (اتصال + nH<sub>2</sub>) انرژی کل سیستم،  $E_{tot}$  (اتصال) انرژی کل اتصال دهنده و  $E_{tot}$  (H<sub>2</sub>) انرژی کل مولکول H<sub>2</sub> است [۲۸، ۲۲].

موادی مانند MWCNT°، MOF (نانولوله‌های کربنی چند جداره)، و گرافن به منظور تعیین ویژگی‌هایی که بر ظرفیت ذخیره سازی هیدروژن تأثیر می‌گذارند، مورد مطالعه قرار گرفته‌اند. نیروهای واندروالس بر برهمکنش‌ها غالب بودند و پارامترهایی مانند دمای واکنش، حلال، پیوند دهنده الی و کاتناسیون چارچوب برای نظارت بر تغییرات در ظرفیت ذخیره سازی H<sub>2</sub> استفاده شد. ظرفیت ذخیره سازی H<sub>2</sub> با استفاده از مواد ناخالصی مانند پلاتین، پالادیم و مس و همچنین عملیات کلسینه کردن و شستشو پس از درمان افزایش یافت [۲۹]. پایداری حرارتی و مکانیکی عالی مواد ممکن است برای ذخیره سازی پیل سوختی مفید باشد [۳۰]. میل اتصال H<sub>2</sub> در فشارکم، ظرفیت ذخیره سازی هیدروژن را تعیین می‌کند. انرژی اتصال فیزیکی MOF‌ها می‌تواند ذخیره هیدروژن را بهبود بخشد. از هیدروژنی که ذخیره شده است، می‌توان با استفاده از پیل‌های سوختی PEM انرژی تولید کرد. برای افزایش بازده انرژی، MOF‌هایی با رسانایی بالا باید انتخاب شوند. نیازی به فراتر از فعل سازی زیاد نیست زیرا جذب در درجه اول جذب فیزیکی است [۲۲]. هدف اصلی کشف یک MOF کارآمد است که می‌تواند هیدروژن را جذب کند تا محدوده ای که خودروهای سبک می‌توانند در آن شارژ شوند را

ممکن است با استفاده از مکانیسم سرریز ذخیره شود و از آنجایی که کاتالیستهای مبتنی بر فلز عملکرد آن را بهبود می‌بخشند، به دلیل اینکه در دمای اتاق عمل می‌کند، به روش‌های دیگر ارجحیت دارد. برای بهبود ظرفیت ذخیره سازی هیدروژن، مولکول‌های هیدروژن از کاتالیستی به بستر دیگر می‌روند [۵۲]. مکانیسم سرریز به صورت: (۱) جذب شیمیایی روی سطح ارائه می‌شود. (۲) تقویک روی کاتالیست فازی. (۳) مهاجرت هیدروژن از یک کاتالیست فلزی به سطح PCM. (۴) انتشار و دفع در سطح بستر. (۵) جذب شیمیایی هیدروژن را می‌توان با فرآیند هسته زایی فاز به دست آورد. (۶) کاتالیست باید ظرفیت فوق العاده‌ای برای جذب هیدروژن داشته باشد، چون جذب شیمیایی هیدروژن روی کاتالیست به مقدار  $0/8$  تا  $1/8$  الکترون ولت انرژی نیاز دارد. (۷) اتم هیدروژن برای مهاجرت به زیرلایه باید بر یک مانع انرژی قابل توجه به مقدار  $2/45$  تا  $2/2$  الکترون ولت غلبه کند. (۸) انتشار اتم‌های هیدروژن در بستر به دلیل پیوند قوی H – C دشوار است و سطح MOFs دارای یک سد انرژی به مقدار  $1/05$  تا  $2/16$  الکترون ولت است. شکل (۱)، مهاجرت هیدروژن در سراسر MOF را نشان می‌دهد [۲۲].

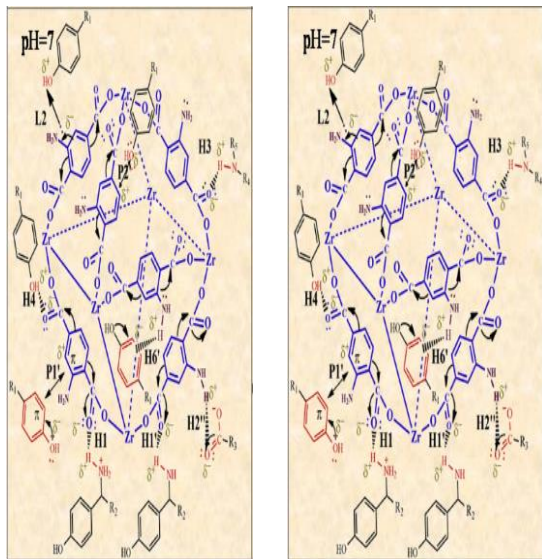


شکل ۱. تصویری از مسیرهای مهاجرت هیدروژن در ذخیره‌سازی هیدروژن توسط سربریز [۵۳].

	CB-900,	-	1526	-
	CB-1000	-	1825	-
¶.] [	Cr-MIL-10,	LiCrw	2159	0.7
	Fe-MIL- 100,	LiCrw	742	0.5
	Ni-MOF-74,	LiCrw	595	-
¶1] [	MOF-519a,	-	2400	2.13
		-	2400	0.97
	MOF-520b,	-	3290	1.94
		-	3290	1.27
¶2] [	COMFA-ZTCethy,	-	3341	2.75
	COMFA-ZTCpy ,	-	3254	2.55
	COM-ZTCethy ,	-	2765	2.5
	COM-ZTCpy	-	2189	1.9
¶3] [	PIM-1,	PAF-1	681	2.6
	PIM-1/PAF-1(0.225),	PAF-1	1197	4.08
	PIM-1/PAF-1(0.375),	PAF-1	1639	4.79
	PAF-1	PAF-1	3787	9.2
¶4] [	MOF-5	-	3512	6.8
¶5] [	DUT-32	-	6411	7.8
			6411	14.21
¶6] [	MFM-132	-	2466	5.2
¶7] [	SrCe2(MoO4)4	$Ho^{3+}$ / $Yb^{3+}$	3.952	3.2
¶8] [	IRMOF-20	-	4590	6.7
	MIL-101	-	5500	6.1
¶9] [	CXFAETS	-	2841	6.3
¶10] [	MOF-177	Pt (0.43)	867	2.5
¶11] [	Mg-MOF-74	Ti	1206	1.29
¶12] [	she-MOF-1	-	4300	12.6
¶13] [	Mg-MOF-74	Ammonia borane	1206	11
¶14] [	Mg@SNU-90°c	-	1371	0.71

### ۱-۳- مکانیسم ذخیره انرژی MOF

بر همکنش ضعیف جذب هیدروژن را می‌توان با جذب روی مواد کربن متخلخل (PCM) اتوس ط سرریز هیدروژن غلبه کرد. از آنجایی که هیدروژن



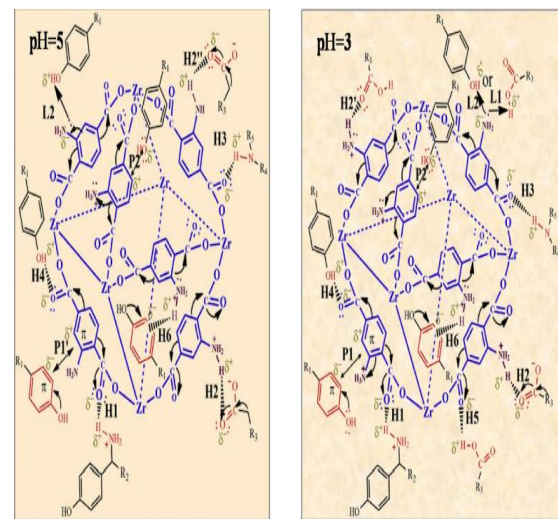
شکل ۲. مکانیسم‌های جذب پیشنهادی برای AMX MOF در pH های مختلف [۲۲] در pH ۷ Uio-66 NH<sub>2</sub>

**۴-۱- مشکلات در ذخیره سازی هیدروژن**  
 در ۷۷ کلوین، MOF ها قابلیت‌های هیدروژنی گرانشی خوبی از خود نشان می‌دهند و برخی از آن‌ها قبلاً از هدف DOE پیشی گرفته‌اند. به دلیل محتوای کم هیدروژن، گرمای زیاد آنتالپی و وزن سنگین سیستم‌های ذخیره‌سازی در مقایسه با سوخت‌های فسیلی، MOF ها ظرفیت ذخیره سازی ضعیفی در دمای اتاق دارند. عملکرد تجهیزات به دلیل الزامات فشار بالا برای سیستم‌های ذخیره سازی هیدروژن محدود شده است، از این رو ذخیره سازی هیدروژن باید به گونه‌ای طراحی شود که با استفاده از مخازن تحت فشار پیچیده، در برابر فشار‌های بالا مقاومت کند. مساحت سطح با متراکم شدن پودر افزایش می‌یابد، در حالی که پایداری MOF توسط پالت سازی محدود می‌شود. هزینه مخازن ذخیره سازی با افزایش فشار افزایش می‌یابد زیرا ظرفیت جذب هیدروژن با فشار اضافی نسبت مستقیم دارد.

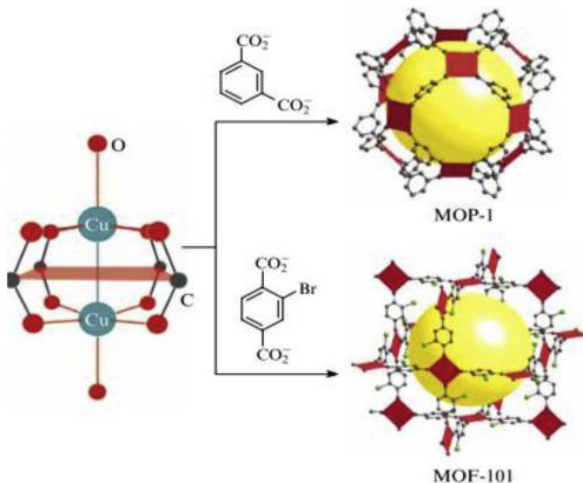
## ۲- جدیدترین پیشرفت‌های ذخیره سازی هیدروژن MOF

**۲-۱- ویژگی‌های ساختاری MOFs**  
 واحدهای ساختمانی ثانویه (SBU) و پیوندهای ارگانیک دو بخش MOF هستند. MOF های مختلف با ترکیب SBU و لینکرها ایجاد می‌شوند. با SBU های مختلف، یک لیگاند آلی را می‌توان برای ایجاد چندین MOF جفت کرد (شکل ۳).

به دلیل اتم‌های کربن هیبریدی بیشتر sp<sup>2</sup> و مساحت زیاد سطح استفاده شده است [۵۴]. در محل کاتالیستی مواد سریز، مولکول‌های هیدروژن شکافته می‌شوند و سپس به گیرنده‌هایی با سطح وسیع منتقل می‌شوند. تعامل بین آموکسی سیلین (AMX) و چندین Zr-MOF (AMX) (AMX) و Zr-MOF H2 داشت. مکانیسم جذب Zr-MOF ها در شکل (۲)، نشان داده شده است: (۱) برهمکنش با اسید-باز لوئیس، (۲) تعاملات بین π - π EDA و π - π و (۳) پیوند هیدروژن و π - H<sub>2</sub> (۴) برهمکنش با الکترواستاتیک، در اینجا NH<sub>2</sub> به عنوان باز لوئیس عمل می‌کند و اسید لوئیس گروه‌های حاوی O بودند. مکانیسم جذب اولیه برهمکنش، وابسته به pH بین اسید لوئیس و باز است. در pH ۷ Uio-66 NH<sub>2</sub> حلقه بنزن به عنوان گیرنده گذشت (COO - electron - π - π - COO -) به عنوان گایگرین برای حذف الکترون استفاده شد.



هر توپولوژی چارچوب دارای اندازه منافذ مشخص و سطح موجود است [۵۷].

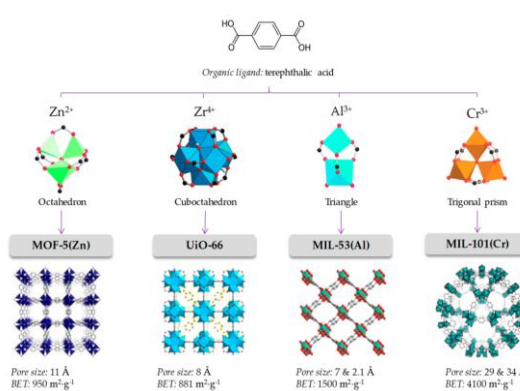


شکل ۴. نمونه هایی از تغییر در هندسه MOF ها بسته به آرایش متقابل جانشین ها در مولکول پیوند دهنده. کره های زرد، حجم منافذ را نشان می دهند [۵۸].

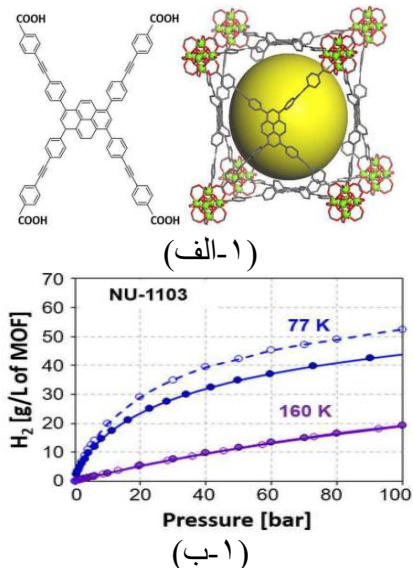
بنابراین، با استفاده از ترکیب های مختلف می توان مقدار زیادی MOF تولید کرد. با حفظ ساختار و تقارن، زنجیره های کربنی اتصالات ممکن است برای تنظیم اندازه منافذ آن ها گسترش یابد. طول پیوند زنجیر کربنی، اندازه منافذ ساختار MOF را تعیین می کند و پیوند دهنده با جایگزین هایی برای خواص شیمیایی و انتخاب پذیری بهتر تقویت می شود [۵۵]. واحد های ساختمان ثانویه: افزودن یک پیوند دهنده به SBU می تواند ویژگی های سلول واحد را به دلیل طولانی شدن زنجیره کربن یا تقارن به دلیل تغییر در نحوه چیدمان توابع نسبت به یکدیگر تغییر دهد (شکل ۴). اعداد هماهنگی SBU ها می تواند از ۳ تا ۶۶ متغیر باشد. اصلاحات پس سنتتیک (PSM)<sup>۸</sup> برای MOF های جدید را برای کنترل قابلیت و عملکرد MOF ها تولید کنند. ادامه یون های مهمان و گروه های عاملی در SBU ها می تواند به طور قابل توجهی رسانایی پروتون MOF را افزایش دهد. SBU هایی که نمی توانند با استفاده از روش سنتی سنتز شوند، اکنون می توانند با استفاده از رویکرد PSM این کار را انجام دهند [۲۲]. پیوند دهنده آلی: جهت گیری پیوند دهنده آلی می تواند توپولوژی های ساختاری را تعیین کند. پیوند عامل دار Zr-dmbd (دیمر کاپتو-۱/۴ بنزنی کربوکسیلات) این خاصیت را داشت که غلظت  $Hg^{2+}$  ppm را در آب زیر ۰/۰۱ کاهش دهد [۵۶].

**۴-۲-۲ MOF با سطح بالا**  
MOF ها به دلیل سطح فوق العاده بالا می توانند گازها را در چارچوب فلزی خود جذب کنند، به طور گسترده مورد استفاده قرار می گیرند. مساحت سطح به طور مستقیم با جذب  $H_2$  متناسب است. مرحله عملیات حرارتی به افزایش سطح ریز متخلخل و منافذ کمک می کند [۵۹]. یک پلیمر از کامپوزیت های مبتنی بر ماتریس ریز تخلخل ذاتی (PIM-1) با استفاده از پرکننده چارچوب آروماتیک متخلخل (PAF-1) (برای افزایش سطح متخلخل و برای جذب موثر هیدروژن تهیه می شود. PAF-1 دارای مساحت  $m^2/g$  ۳۷۸۷ و  $1/47$

درصد وزنی جذب  $H_2$  بود. برای PAF-1، ظرفیت هیدروژن ۳۷/۵٪ [۳۰] PIM-1 افزایش یافت [۳۰]. MOF های محاسباتی تولید شده برای جذب انجمادی هیدروژن در ۷۷ کلوین مورد مطالعه قرار گرفتند. در ۷۷ کلوین و ۱۰۰ بار، حداقل بار حجمی هیدروژن حدود ۶۰ گرم در لیتر و ظرفیت حجمی ۵۷ گرم در لیتر است. راندمان مخزن هیدروژن جذب شده ۵۰ درصد بیشتر از مخزن گاز هیدروژن فشرده<sup>۹</sup> (CHG) (۳۷ گرم در لیتر)



شکل ۳. رویکرد گره و اتصال دهنده برای آماده سازی MOF. انتخاب مناسب پیوند دهنده آلی (خطی در مورد اسید ترفالیک) و هندسه اتصال خوشه فلزی منجر به توپولوژی موردنظر می شود.



شکل ۵. (الف) ساختار لینکر های ۶ متصل با She-NU-1103 و لینکر های ۴ متصل با MOF-1، (ب) جذب هیدروژن شبیه سازی شده در مقایسه با She-MOF-1 تازه فعال شده و با جذب تجربی اندازه گیری شده در NU-1103 دو ساله در ۷۷ کلوین و ۱۶۰ کلوین، مقادیر شبیه سازی شده در نمادهای باز نشان داده شده اند و مقادیر تجربی در نمادهای بسته [۲۲].

### ۳-۲- MOF با ظرفیت ذخیره سازی بالا در دمای محیط

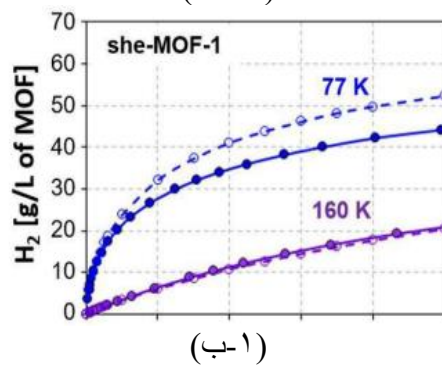
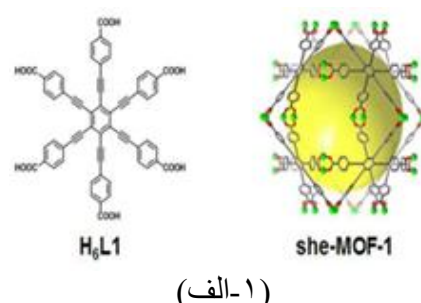
ظرفیت ذخیره‌سازی هیدروژن MOFs در دماهای برودتی (۷۷ کلوین) بسیار بالا است که نزدیک به هدف ذخیره‌سازی هیدروژن DOE ایالات متحده است. با این حال، برای اهداف عملی، ذخیره هیدروژن در ۷۷ کلوین امکان پذیر نیست. هیدروژن در دمای اتاق و فشار اتمسفر به صورت هگاز واندروالس ظاهر می‌شود. گرمای جذب ایزوستریک بالا MOF‌ها معمولاً نگهداری قابل توجهی از هیدروژن را در دمای اتاق نشان می‌دهد. با افزودن یک کاتالیست Pt/C، جذب هیدروژن برای CuBTC ریز متخلخل به میزان ۳/۵ در ۲۹۸ کلوین و ۲۰ بار بهبود یافت [۵]. در این کار سنتر MOF‌های مبتنی بر منیزیم (MOFs ZIF-8، ZIF-74، ZIF-67) با استفاده از روش رسوب - کاهش مورد مطالعه قرار گرفته است. MgCl<sub>2</sub> MOFs حل شد تا جذب هیدروژن را بهبود بخشد. افزودن منیزیم به

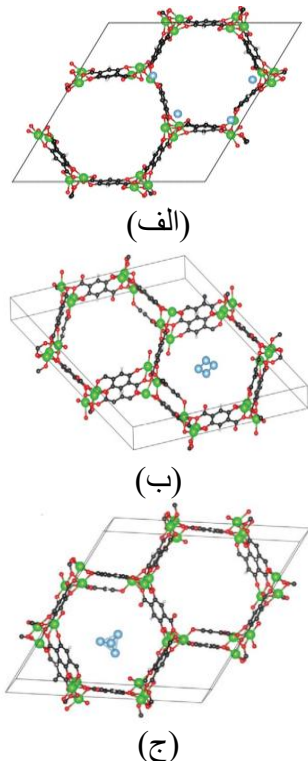
است. یک توالی MOF جدید (she-MOF-x) سنتز شد و با NU-1103 MOF موجود مقایسه شد (شکل ۵). NU-MOF در مقایسه با she-MOF ۱ پایدارتر بود و ظرفیت تحویلی  $43/2$  گرم در لیتر و  $12/6$  درصد وزنی داشت [۲۲]. ظرفیت ذخیره‌سازی هیدروژن برای الكل فورفورال، اتیلن، استونیتریل و پیش‌ساز کربن وینیل سیانید با قالب سخت زئولیت X۱۳ مورد مطالعه قرار گرفت. مساحت سطح کربن‌ها  $m^2/g$   $2174-2841$  و

حجم منافذ  $cm^3/g$  مساحت  $1/83 - 1/13$  بود.

سطح و حجم منافذ برای الكل فورفورال و كربن پيش ساز اتيلن، بالا بود. الكل فورفورال به عنوان يك واسطه كربن داراي  $m^2/g$  ۲۸۴۱ مساحت

سطح و ۳/۶ درصد جذب هیدروژن در ۷۷ کلوین و ۲۰ بار برای CXFAETS MOF با [۴۷]. چگالی بیشتر منجر به ظرفیت جذب وزنی کمتر می‌شود، در حالی که جذب حجمی بالاتر است زیرا چگالی اسکلت بر جذب گاز تأثیر می‌گذارد. مساحت سطح، تخلخل و گرمای ایزوستریک با ظرفیت جذب هیدروژن نسبت مستقیم دارند.





شکل ۶. سه پیکربندی مختلف از اتم‌های  ${}^4\text{Ti}$  روی سطح  $\text{Mg}-\text{MOF}-74$ . (الف) اتم‌های  ${}^4\text{Ti}$  در سایت‌های  $\text{MgO}_2$  به دام افتداده اند. (ب، ج) دو پیکربندی از یک خوش  ${}^4\text{Ti}$  در مرکز منافذ شش ضلعی [۷].

**۴-۲- ذخیره سازی هیدروژن در حالت جامد** عنصر اصلی در تکنیک ذخیره سازی هیدروژن حالت جامد، تخلخل است. کاهش راندمان وزنی و حجمی ذخیره سازی هیدروژن با ترکیب (مواد + محفظه + مبدل حرارتی) تعیین می‌شود. در دماهای زیر ۱۱ کلوین، هیدروژن جامد تولید شده دارای چگالی  $70/6$  کیلوگرم بر متر مکعب است. مهمترین پارامتر ترمودینامیکی برای ذباحت جامد، گرمای تشکیل است [۲۲، ۶۳]. تأثیر بر مولیبدات استرانسیم سریم ( $\text{SrCe}_2(\text{MoO}_4)_4$ ) با افزودن هولمیوم و ایتریوم مورد مطالعه قرار گرفت. از آن جایی که یون‌های هیدروژن برهم کنش دارند، ذباحت هیدروژن از نظر ترمودینامیکی پایدارتر است. بالاترین ظرفیت تخلیه جریان در  $3250 \text{ mAhg}^{-1}$  با  $\text{Ho/Yb} = 0.1/0.3$  (درصد وزنی) به دست می‌آید [۶۴]. انتخاب مواد، اندازه و ضخامت دیواره ظرف برای ذخیره هیدروژن حالت جامد بر بازده حجمی و وزنی تأثیر می‌گذارد. محیط ذخیره سازی بر مصرف انرژی تأثیر می‌گذارد. با دمای عملیاتی و اثر حرارتی

بهبودهای قابل توجهی در خواص هیدروژن زدایی دست یافت و  $\text{Mg/ZIF-67 MOF}$  به کمترین دما (۲۸۹ درجه سانتیگراد) برای آزادسازی هیدروژن نیاز داشت. رویکرد DMOL3 برای مطالعه جذب هیدروژن کلسیم روی  $\text{Mg}_4\text{O}$  با گرافین به عنوان پیوند دهنده (MOF-Ca8) استفاده می‌شود. کلسیم در ۸ MOF-Ca8 شش مولکول  $\text{H}_2$  را با انرژی اتصال ۳ الکترون ولت جذب کرد. شبیه سازی دینامیک مولکولی نشان داد که هیدروژن بین دمای ۳۷۳-۲۷۲ کلوین آزاد می‌شود و دارای  $6/32$  درصد وزنی و مقدار ترمودینامیکی قابل استفاده ۳/۸۹ است [۶۰]. DFT برای تجزیه و تحلیل مولکول‌های مختلف  $\text{H}_2$  استفاده می‌شود که جذب شیمیایی و فیزیکی روی کمپلکس  $\text{TiC}_6\text{H}_6$  می‌شوند.  $\text{H}_2$  توسط مخلوطی از جذب شیمیایی و جذب فیزیکی به  $\text{TiC}_6\text{H}_6$  متصل شد. در دمای اتفاق، جذب هیدروژن روی  $\text{TiC}_6\text{H}_6$  با درصد وزنی  $6/02$  درصد محاسبه شد [۶۱]. برای  $\text{Mg-Ti MOF-74}$ ، جذب هیدروژن سایت‌های جذب  $\text{Ti}$  مورد بررسی قرار گرفته است. اتم‌های  $\text{Ti}$  ابتدا در محل  $\text{MgO}_2$  جذب می‌شوند، با انرژی اتصال  $2/92$  الکترون ولت به عنوان پایدارترین محل در نظر گرفته می‌شود، و سپس در محل‌های توخالی و روی  $\text{O}$  متصل می‌شوند (شکل ۶). در دماهای  $1/81$ ،  $77$ ،  $150$  و  $298$  کلوین، جذب هیدروژن  $1/74$  و  $1/29$  درصد وزنی بود و هر اتم  $\text{Ti}$  می‌توانست حداقل سه اتم هیدروژن را به هم متصل کند [۳]. نانوبولورهای منیزیم به شکل دیسک شش ضلعی در SNU-90 MOF ساخته شدند که می‌توانند هیدروژن را هم با جذب فیزیکی و هم جذب شیمیایی ذخیره کنند.  $\text{Mg}@\text{SNU-90'a}$  ۹۰ برای جذب  $\text{H}_2$  دارای  $0/54$  درصد وزنی است. با افزایش غلظت منیزیم، گرمای ایزوستریک جذب برای  $\text{Mg}@\text{SNU-90'c}$   $11/6$  کیلوژول بر مول بهبود یافت و جذب  $\text{H}_2$  با  $0/71$  درصد وزنی در  $473$  کلوین و  $30$  بار را نشان داد. نتایج نشان داد که  $\text{MgH}_2$  منبع دفع است [۵۱، ۱۹]. جذب هیدروژن،  $9/1$  هیدروژن در واحد فرمول برای IRMOF-8 در  $298$  کلوین و  $10$  بار است [۶۲].

### ۳- اصلاح MOF برای ذخیره سازی هیدروژن

#### ۱-۳- MOF طبیعی

MOF های طبیعی به دلیل مساحت سطح بالا، اندازه منافذ، تخلخل و خواص کاتالیستی مورد توجه قرار گرفته‌اند. یک مکانیسم همکاری در -MOF های بکر وجود دارد که در آن جذب هیدروژن توسط سایت‌های فلزی در چارچوب‌ها ایجاد می‌شود. حدود ۵۰۰۰۰ چارچوب فرضی فلز-الی (MOF) به صورت محاسباتی مورد بررسی قرار گرفتند که در آن‌ها سه MOF ، ( IRMOF-20 ، PCN-610/NU-100 ، SNU-70 ، UMCM-9 ) بیش از ذخیره هیدروژن قابل استفاده بودند [۲۲]. در مقایسه با MOF-5 و IRMOF-20 برای طیف وسیعی از نوسانات فشار، هر سه MOF دارای ظرفیت وزنی بالا و ظرفیت حجمی بسیار قابل استفاده H<sub>2</sub> بودند [۶۸]. با استفاده از شبیه‌سازی مولکولی، ژئوم مواد نانوتخلخل (NMG)؛<sup>۱</sup> که از ۸۵۰۰۰ ساختار تشکیل شده است، به صورت محاسباتی غربالگری شد تا جذب فیزیولوژیکی هیدروژن را تشخیص دهد [۳۸]. مواد ZIF-8 عملکرد عالی ذخیره‌سازی هیدروژن ۴۰ گرم در لیتر را نشان دادند. فشرده سازی برودتی در مقایسه با سایر روش‌های مرسم، تحويل انرژی خالص را افزایش داد [۱۰]. مطالعه جذب انجام‌دادی مخازن MOF-5 و MIL-101 برای سوخت هیدروژنی در دماهای برودتی انجام شد. دمای مخزن در طول سوخت رسانی به دلیل اینرسی حرارتی بالا و آنتالپی تبخیر تغییر نکرد. در مقایسه با ذخیره سازی هیدروژن فشرده کرایو در دمای زیر ۸۰ کلوین، جذب انجام‌دادی ۱۰ درصد (MOF-5) یا ۲۰ درصد (MIL-101) افزایش یافت [۷۰ و ۶۹].

#### ۴-۳- MOF با مراکز فلزی

MOF های سنتز شده با استفاده از خوش‌های اکسید فلزی یک چارچوب کریستالی را تشکیل می‌دهند که دارای تخلخل دائمی است و انرژی اتصال قوی بر اساس نوع فلز ایجاد می‌کند. مکانیسم جذب در این MOF ها بسته به اکسیدهای فلزی می‌تواند جذب فیزیکی یا جذب شیمیایی باشد. آمونیاک بوران (AB) در داخل Mg-MOF-74 به صورت نانو

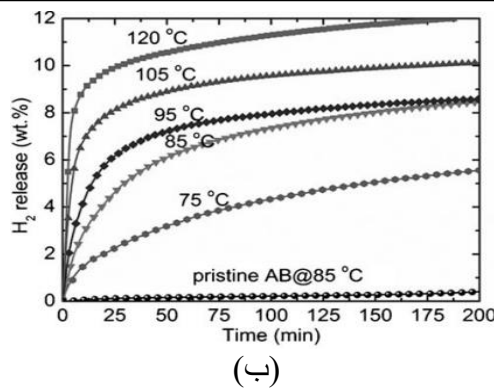
جب و دفع هیدروژن افزایش می‌یابد [۶۵]. MOF-74 به دلیل برهمکنش قوی هیدروژن با اتم فلز، گرمای ایزوستریک جذب هیدروژن (۱۰ kJ/mol) را در ۲۰ کلوین و ۱ اتمسفر نشان می‌دهد. برای افزایش مکان‌های فعل -Mg-MOF-74 از لیگاند آلی آروماتیک برای به دست آوردن جذب هیدروژن ۴/۵ درصد وزنی در ۳۵ بار استفاده شد [۶۶].

#### ۴-۵- پایداری MOF ها

با توجه به این واقعیت که واکنش هیدروژن می‌تواند به طور قابل توجهی بسته به دما متفاوت باشد، اندازه‌گیری پایداری MOF بسیار مهم است. اگر حلال حذف شود، یک MOF ناپایدار می‌تواند تعیین ساختار کریستالی را دشوار کند یا ممکن است به طور کلی فرو بریزد. فلزات با ظرفیت بالا اضافه شده به MOF با نرخ تبادل لیگاند پایین منجر به MOF های بسیار پایدار می‌شود [۲۲]. مواد MOF را می‌توان به طور مکرر در دماهای برودتی به منظور ارزیابی پایداری در ذخیره سازی هیدروژن بررسی کرد. برای انجام آزمایش، MOF ها در نگهدارنده‌های فولادی استوانه‌ای که در مخازن تحت فشار لوله‌ای با فشارهای بین ۰/۵ تا ۱۰ مگاپاسکال قرار می‌گیرند، بارگذاری می‌شوند [۶۷]. بنابراین، می‌توان نتیجه گرفت که فلزات با ظرفیت بالا و MOF های مبتنی بر کربوکسیلات، پایداری فوق العاده‌ای نشان دادند و MOF های حاوی فلز فعل ردوکس را می‌توان در مطالعات بیشتر در مورد ذخیره‌سازی هیدروژن در دمای اتفاق مورد بهره‌برداری قرار داد.

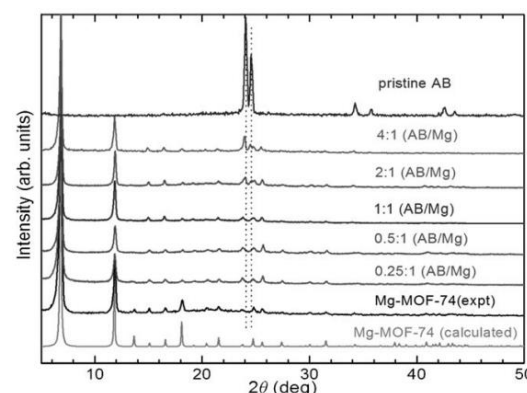
#### ۴-۶- روش‌های بارگذاری

روش‌های مختلف بارگذاری MOF ها می‌توانند بر خواص کاتالیست تأثیر بگذارند و می‌توانند پایداری MOF MPC-UIO-66-NH<sub>2</sub> را تغییر دهند. ZrO<sub>2</sub> با استفاده از روش اشباع مرطوب برای تشکیل Ru/MPC-ZrO<sub>2</sub> بارگذاری شد. یک سایت فعل Ru به خوبی پراکنده در MOF با این روش تولید شد [۶۷]. MOF ها با نانومواد ایجاد شده توسعه تکنیک سنگ زنی جامد پر می‌شوند. توانایی MOFs برای جذب هیدروژن با نانوچار فلزات فعل افزایش یافت. فلزات با ظرفیت بالا می‌توانند قابلیت جذب هیدروژن خود را از طریق ناخالص سازی MOF افزایش دهند.

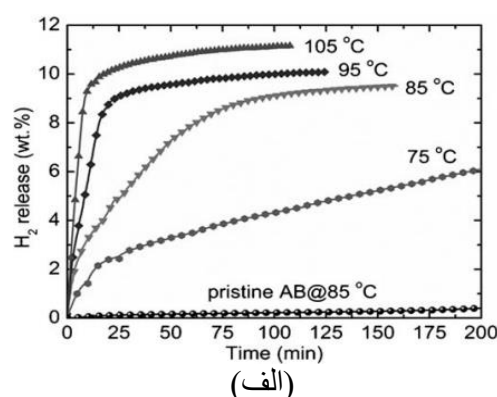


شکل ۸. سینتیک‌های همدما دفع  $H_2$  از AB-Mg MOF-74 در دمای مختلف برای نسبت مولی AB/Mg: (الف) ۱/۵ و (ب) ۵/۰.

محصور شد که سینتیک هیدروژن زدایی را برای تولید هیدروژن تمیز و کاهش محصولات جانبی خطرناک بهبود بخشد. ساختار MOF در نتیجه افزودن AB به جای Mg تغییر یافته است (شکل ۷). Mg-MOF قادر به پشتیبانی از ۲۶ درصد وزنی نانومحصور AB بود (شکل ۸). با توجه به بررسی دفع برنامه ریزی شده با دما، AB-Mg-MOF دارای ۱۱ درصد وزنی ظرفیت  $H_2$  در دمای ۱۲۰ درجه سانتیگراد در مقابل ۶ درصد وزنی برای AB طبیعی بود [۵۰].



شکل ۷. الگوهای پراش اشعه ایکس- MOF-74 تمیز و بارگذاری شده با AB و AB طبیعی. خطوط عمودی نقطه‌دار موقعیت قله‌های طبیعی را نشان می‌دهند که فقط برای نمونه‌های AB/Mg ۲:۱ و ۴:۱ ظاهر می‌شوند [۵۰].



**۳-۳- ناخالص سازی در MOF**  
پتانسیل ذخیره سازی هیدروژن را می‌توان با معرفی یون‌های فلزی به MOF‌ها بهبود بخشد. مطالعه DFT برای ناخالص سازی بوروفن با اتم فلز (K، Na و Li) ارزیابی شده است. مکانیسم سرریز در MOF‌هایی که دارای عناصر ناخالص سازی با ظرفیت جذب هیدروژن بالا هستند مشاهده می‌شود. مواد بر اساس الگوی سوراخ دوره‌ای مختلف به صورت S1، S2، S3، S3 مشخص می‌شوند. بوروفن دارای لیتیوم دارای ظرفیت هیدروژن وزنی  $8/36$  درصد وزنی،  $11/49$  درصد وزنی،  $13/96$  درصد وزنی برای S1، S2 و S3 در حالی که  $10/39$  درصد وزنی و  $9/06$  درصد وزنی برای S2 و S3 ناخالص شده سدیم بود. دمای دفع  $H_2$  حدود  $200$  تا  $220$  کلوین بود، که در آن بوروفن ناخالص شده با پتانسیم و S1 آلاییده شده با سدیم به دلیل انرژی جذب نامطلوب نامناسب بودند [۷۱]. ایتریوم (Y) با گرافن متخلخل برای مطالعه ظرفیت ذخیره هیدروژن ناخالص شده است. برای PG یک طرفه، اتم‌های Y می‌توانند شش مولکول هیدروژن را با ظرفیت  $4/78$  درصد وزنی جذب کنند. گرافن متخلخل دو طرفه  $14$  مولکول  $H_2$  را با انرژی متوسط جذب  $0/23$ - $0/40$ - الکترون ولت بر هیدروژن جذب می‌کند و  $7/87$  درصد وزنی ظرفیت ذخیره هیدروژن را محاسبه می‌کند [۷۲]. ADC MOF-5 (آرولندی کربوکسیلات)  $1/1$

برای ارزیابی ویژگی‌های ذخیره‌سازی MOF-650، تئوری‌های DFT و GCMC مورد مطالعه قرار گرفتند. جذب H<sub>2</sub> با افزودن پیوندهای جایگزین Mg/Ca و 2 B(OH)<sub>2</sub> درصد افزایش یافت که ذخیره‌سازی H<sub>2</sub> بالاتری را نشان داد. مولکول‌های H<sub>2</sub> در نواحی گوشه‌ای قرار دارند و نشان می‌دهند که الکترونگاتیوی پایین‌تر جذب H<sub>2</sub> را افزایش می‌دهد [۲۹].

#### ۴- تأثیر عوامل اساسی پر ذخیره سازی هیدروژن

٤-١-دما

در مقایسه با دمایهای پایین‌تر، ظرفیت جذب MOF در دمایهای بالاتر به شدت کاهش می‌یابد. با افزایش دما، جذب شیمیایی افزایش یافت اما جذب فیزیکی کاهش می‌یابد. MOF ناخلالص شده با فلز، پتانسیل جذب هیدروژن بالاتری خواهد داشت. دمایهای بالا منجر به کاهش قابل توجهی در توانایی جذب نمی‌شود، بلکه می‌تواند گرینش پذیری را افزایش دهد [۷۵]. برای MOF ها، مشخص شده است که حسابتی کل حجمی با کاهش دما افزایش می‌یابد. بزرگتر فرآیند جذب هیدروژن افزایش یافته است [۷۶]. Ni<sub>2</sub> (m-dobdc) دارای جذب هیدروژن بالاتری نسبت به هیدروژن فشرده در دمای محیط است [۷۷]. MOF تعییه شده منیزیم (Mg@SNU-90) با افزایش ظرفیت جذب به کاهش دمای جذب شیمیایی کمک کرد. نانوبولورهای منیزیم ناخلالص شده با SNU-90 باعث افزایش جذب هیدروژن شده است. به دلیل محتوای بالای منیزیم در Mg@SNU-90<sup>c</sup> و خواص جذب شیمیایی، جذب هیدروژن از ۰/۲ درصد وزنی (۳۲۳ کلوین) به ۰/۷۱ درصد وزنی (۴۷۳ کلوین) در ۳۰ بار افزایش یافت. نانوذرات منیزیم دمای دفع را کاهش و گرمای ایزوتربیک جذب هیدروژن را افزایش می‌دهد [۶۱].

۴ - ۲ - فشار

تا زمان تعادل، ظرفیت جذب هیدروژن به صورت خطی با فشار تغییر می‌کند. با ۱ درصد وزنی جذب هیدروژن، جذب هیدروژن به صورت خطی در فشار ۲۰ بار افزایش یافت [۵]. با افزایش فشار برای MOF-519 و MOF-520، گرمای ایزوستریک جذب کاهش یافت [۴۱]. جذب هیدروژن وزنی و حجمی با فشار برای MOF-5

نالخالص شده برای افزایش جذب H<sub>2</sub> سنتز می‌شود. در MOF-5 مولکول‌های H<sub>2</sub> از گوشه‌ها به پیوند دهنده‌های BDC با افزایش فشار منتقل می‌شوند. در مقابل، در ADC-MOF-5، واحدهای H<sub>2</sub> از پیوند دهنده های ADC منتقل می‌شوند و بنابراین جذب هیدروژن بهبود می‌یابد زیرا الکترون‌ها را افزایش می‌دهد و فاصله باند را کاهش می‌دهد [۳۶].

۳-۴ - هیرید MOF

کارایی MOF‌ها را می‌توان با جفت شدن با مواد مکمل مانند اکسید گرافن افزایش داد. MOF‌های ترکیبی از مکانیسم‌های مختلفی مانند تقیکی، جذب فیزیکی و جذب شیمیایی بسته به کامپوزیت‌های مورد استفاده پیروی می‌کردند. در این مطالعه، اکسید گرافن کاوش یافته Zr-MOF (rGO) با استفاده از فرآیند لایه برداری حرارتی ایجاد می‌شد. rGO بدون تغییر ساختار کریستالی در مواد Zr-MOF گنجانیده شد. با افزودن rGO، سطح MOF از ۱۴۸۰  $m^2/g$  به ۱۱۱۶  $m^2/g$  افزایش

یافته و غلظت هیدروژن از  $1/4$  درصد وزنی به  $1/8$  درصد وزنی افزایش یافت [۳۶]. برای ارزیابی ویژگی‌های ذخیره‌سازی  $H_2$ -MOF-650، تئوری‌های DFT و GCMC مورد مطالعه قرار گرفتند. جذب  $H_2$  با افزودن پیوندهای جایگزین  $B(OH)_2$  و  $Mg/Ca$  تا  $20$  درصد افزایش یافت که ذخیره سازی  $H_2$  بالاتری را نشان داد. مولکول‌های  $H_2$  در نواحی گوشاهی قرار دارند و نشان می‌دهند که الکترونگاتیوی پایین‌تر جذب  $H_2$  را افزایش می‌دهد [۲۹]. انرژی جذب  $H_2$  و  $CO_2$  برای M-Cu-BTC های مختلف با استفاده از محاسبات DFT مورد مطالعه قرار می‌گیرد.  $CO_2$  با دو مکانیسم کربوکسیل (COOH) و فرمت (HCOO) برای تشکیل اسید فرمیک با هیدروژن واکنش نشان می‌دهد.  $MoeCuBTC$  سد انرژی بالاتری برای  $CO_2$  نسبت به  $H_2$  داشت، که به واکنش با  $H_2$  کمک می‌کند. بنابراین برای استفاده از هیدروژن برای تبدیل سوخت، انرژی جذب باید بالاتر از  $H_2$  باشد تا  $CO_2$  فعال شود [۷۴]. جدول (۱)، نشان می‌دهد که رابطه بین جذب هیدروژن و سطح و فشار BET متناسب است. پلاتین (۰/۴۳٪) ناخالص شده MOF-177 بالاترین جذب هیدروژن را در دمای محیط،  $1/29$  درصد وزنی داشت.

حاوی مواد سطح بالایی هستند، ارائه شده‌اند. سطح BET، تخلخل، و حجم منافذ همگی به طور مستقیم با جذب هیدروژن متناسب هستند. برای تقویت قابلیت جذب هیدروژن، MOF‌ها را می‌توان به فلزات بی‌اثری مانند Pt، Pd و Ru ناخالص کرد. جذب کرایو، که ترکیبی از جذب و ذخیره بروتونی است، می‌تواند برای افزایش ظرفیت جذب هیدروژن استفاده شود. بنابراین، بسیاری از تکنیک‌ها، از جمله ناخالص سازی با یون‌های فلزی، نانوذرات، و ایجاد کامپوزیت‌ها، می‌توانند ظرفیت MOF را برای ذخیره هیدروژن افزایش دهند [۸۰]. بهینه سازی چارچوب‌های فلزی-آلی ساده خواهد بود اگر اثرات این تکنیک‌ها شناخته شوند. از نظر توانایی MOF‌ها برای اتصال هیدروژن، دما، فشار و ترکیب آن‌ها می‌توانند عوامل مهمی باشند. رسانایی کم MOF‌ها را می‌توان با ناخالص سازی برای استفاده در سلول‌های سوختی افزایش داد. بنابراین این فناوری سبز می‌تواند با تبدیل به سلول‌های سوختی به کاهش کربن در صنایع کمک کند. ظرفیت جذب هیدروژن باید در شرایط دمای محیط با فشار پر شدن به نسبت کم در محدوده (۰-۱۰۰ بار یا کمتر) به عنوان سوخت برای خودروهای هیدروژنی مورد استفاده قرار گیرد.

#### ۶-۶- پیشنهادهای آینده

با توجه به اینکه MOF‌ها قابلیت جذب هیدروژن بسیار محدودی دارند، مطالعات آینده باید بر درک مواد MOF برای مدیریت هیدروژن در دمای محیط مرکز شود. مرکز تحقیقات بر روی مکانیسم کاتالیستی و حللاهای اقتصادی ضروری است. هزینه سرمایه گذاری دقیق و مقایسه اقتصادی روش‌های ذخیره سازی هیدروژن هنوز به دست نیامده است. مطالعات مدل‌سازی که شرایط سخت واقعی را با تمام پیچیدگی‌های درگیر در نظر می‌گیرند، باید بر روی آن‌ها مرکز شوند. با این حال، هنوز یافتن کاتالیستهای MOF پایدار، قابل بازیافت و کارآمد با تقسیم آب مقرر به صرفه دشوار است، بنابراین قبل از کاربرد عملی به مطالعه بیشتری نیاز است.

#### ۷- منابع

- [1] Barghi Jahromi MS, Kalantar V, Akhijahani HS, Kargarsharifabad H. Recent progress on solar cabinet dryers for

افزایش یافت. جذب هیدروژن در درجه اول تک لایه در توالی MOFs NU-110x بود و بارگیری هیدروژن در ۴۰ بار اشبع شد [۲۲].

#### ۴-۳- ترکیب‌بندی

تغییرات ساختاری می‌تواند ظرفیت جذب آن‌ها را افزایش دهد. PCN-68 در مقایسه با PCN-61 جذب هیدروژن بالاتری داشت [۶۶]. جذب هیدروژن ۴۵ میلی گرم (۲۰ بار) در هر گرم MOF-5 مشاهده می‌شود [۵]. دارای ظرفیت جذب ۱۱۹ گرم هیدروژن در هر Mg-MOF-74 لیتر MOF است [۷۸]. افزودن Mg-AB-AB به آمونیاک بوران دمای آزادسازی هیدروژن را بهبود بخشد. به دلیل فعل و انفعالات بین مولکولی-AB-AB، نسبت AB/Mg کمتر از ۱:۱ حفظ می‌شود تا آزادسازی هیدروژن افزایش یابد [۵۰]. در زئولیت X13، تاثیر چندین پیش ساز کربن بررسی شده است. کشف شد که کامپوزیت CXFAETS دارای بیشترین سطح BET و ظرفیت جذب هیدروژن است [۴۷].

#### ۵- فرصت‌هایی برای MOF در فضای ذخیره سازی $H_2$

به عنوان جایگزینی برای ذخیره انرژی پاک می‌توان از MOF‌ها استفاده کرد. استفاده از MOF که به نظر می‌رسد ظرفیت هیدروژن بالاتری نسبت به گاز هیدروژن فشرده دارد، می‌تواند هزینه سوخت خودروهای هیدروژنی را کاهش دهد. برای کاربردهای خودرویی، می‌توان از MOF با قابلیت جذب هیدروژن کافی در دمای اتاق استفاده کرد [۷۷]. در دمای اتاق، منافذ MOF‌های با ساختار سه بعدی می‌توانند مولکول‌های گاز هیدروژن را به شدت جذب کرده و مولکول‌های گاز را متراکم کنند. برای جلوگیری از خرابی ناشی از رطوبت، چندسازهای MOF را می‌توان به صورت سه بعدی پرینت کرد. با استفاده از سلول‌های سوختی غشای تبادل پروتون (PEM)، می‌توان هیدروژن ذخیره شده را به انرژی تبدیل کرد [۷۹].

#### ۶- نتیجه‌گیری و توصیه‌های پیشنهادی

۶-۱- نتیجه‌گیری برای ذخیره انرژی برای کاهش استفاده از سوخت‌های فسیلی، روندهای فعلی و یک مرور کلی از پیشرفت‌ها در ذخیره‌سازی هیدروژن با استفاده از MOF‌هایی که

properties of ball-milled multi-wall carbon nanotubes. International journal of hydrogen energy. 2009;34(3):1437-1443. <https://doi.org/10.1016/j.ijhydene.2008.11.085>

[9] Allendorf MD, Hulvey Z, Gennett T, Ahmed A, Autrey T, Camp J, Cho ES, Furukawa H, Haranczyk M, Head-Gordon M, Jeong S. An assessment of strategies for the development of solid-state adsorbents for vehicular hydrogen storage. Energy & Environmental Science. 2018; 11(10): 2784-2812.

<https://doi.org/10.1039/C8EE01085D>

[10] Thornton AW, Simon CM, Kim J, Kwon O, Deeg KS, Konstas K, Pas SJ, Hill MR, Winkler DA, Haranczyk M, Smit B. Materials genome in action: identifying the performance limits of physical hydrogen storage. Chemistry of Materials. 2017; 29(7): 2844-2854. <https://doi.org/10.1021/acs.chemmater.6b04933>

[11] Singh R, Altaee A, Gautam S. Nanomaterials in the advancement of hydrogen energy storage. Heliyon. 2020; 6(7): e04487. <https://doi.org/10.1016/j.heliyon.2020.e04487>

[12] Liao YT, Matsagar BM, Wu KC. Metal-organic framework (MOF)-derived effective solid catalysts for valorization of lignocellulosic biomass. ACS Sustainable Chemistry & Engineering. 2018; 6(11): 13628-13643. <https://doi.org/10.1021/acssuschemeng.8b03683>

[13] Lee CC, Chen CI, Liao YT, Wu KC, Chueh CC. Enhancing efficiency and stability of photovoltaic cells by using perovskite/Zr-MOF heterojunction including bilayer and hybrid structures. Advanced Science. 2019; 6(5): 1801715. <https://doi.org/10.1002/advs.201801715>

[14] Chueh CC, Chen CI, Su YA, Konnerth H, Gu YJ, Kung CW, Wu KC. Harnessing MOF materials in photovoltaic devices: recent advances, challenges, and

agricultural products equipped with energy storage using phase change materials. Journal of Energy Storage 2022;51:104434. <https://doi.org/10.1016/j.est.2022.104434>

[2] Barghi Jahromi MS, Iranmanesh M, Samimi Akhijahani H. Thermo-Economic evaluation of a solar dryer with evacuated heat pipe collector and energy storage. Journal of Applied and Computational Sciences in Mechanics. 2021;32(1):39-58. <https://doi.org/10.22067/jacsm.2021.56640.0>

[3] Barghi Jahromi MS, Iranmanesh M. Experimental investigation on the use of PCM in a pistachio solar dryer by the evacuated heat pipe solar collector. Journal of Pistachio Science and Technology. 2019; 3(6): 73-87.

[4] Barghi Jahromi MS, Kalantar V, Abdolrezaie M. Experimental Study of Effect of Storage Phase Change Materials (PCM) on the Function of a Passive Solar Ventilator. Modares Mechanical Engineering. 2020; 20(7): 1709-1717. <https://doi.org/10.1001.1.10275940.1399.20.7.23.6>

[5] Zacharia R, Rather SU. Review of solid state hydrogen storage methods adopting different kinds of novel materials. Journal of Nanomaterials. 2015; 2015: 1-18. <https://doi.org/10.1155/2015/914845>

[6] Kamali K, Barghi Jahromi MS, Sefid M. Energy and Exergy Analysis of a Direct Solar Steam Power Plant with Solar Parabolic Concentrator for Yazd City with Several Water Preheaters. Karafan Quarterly Scientific Journal. 2022;19(1):333-355. <https://doi.org/10.48301/kssa.2021.287183.1540>

[7] Suksaengrat P, Amornkitbamrung V, Srepusharawoot P, Ahuja R. Density Functional Theory Study of Hydrogen Adsorption in a Ti-Decorated Mg-Based Metal-Organic Framework-74. ChemPhysChem. 2016; 17(6): 879-884. <https://doi.org/10.1002/cphc.201500981>

[8] Wang Y, Deng W, Liu X, Wang X. Electrochemical hydrogen storage

- EnergyStorage. 2022;52:104688.  
<https://doi.org/10.1016/j.est.2022.104688>
- [21] Atashrouz S, Rahmani M. Predicting hydrogen storage capacity of metal–organic frameworks using group method of data handling. *Neural Computing and Applications*. 2020;32:14851-14864.  
<https://doi.org/10.1007/s00521-020-04837-3>
- [22] Shet SP, Priya SS, Sudhakar K, Tahir M. A review on current trends in potential use of metal-organic framework for hydrogen storage. *International Journal of Hydrogen Energy*. 2021; 46(21): 11782-11803.  
<https://doi.org/10.1016/j.ijhydene.2021.01.020>
- [23] Bakuru VR, DMello ME, Kalidindi SB. Metal-organic frameworks for hydrogen energy applications: advances and challenges. *ChemPhysChem*. 2019; 20(10): 1177-1215.  
<https://doi.org/10.1002/cphc.201801147>
- [24] Balderas-Xicohténcatl R, Schlichtenmayer M, Hirscher M. Volumetric hydrogen storage capacity in metal–organic frameworks. *Energy Technology*. 2018; 6(3): 578-582.  
<https://doi.org/10.1002/ente.201700636>
- [25] Balderas-Xicohténcatl R, Schmieder P, Denysenko D, Volkmer D, Hirscher M. High volumetric hydrogen storage capacity using interpenetrated metal–organic frameworks. *Energy Technology*. 2018; 6(3): 510-512.  
<https://doi.org/10.1002/ente.201700608>
- [26] Railey P, Song Y, Liu T, Li Y. Metal organic frameworks with immobilized nanoparticles: Synthesis and applications in photocatalytic hydrogen generation and energy storage. *Materials Research Bulletin*. 2017; 96: 385-394.  
<https://doi.org/10.1016/j.materresbull.2017.04.020>
- [27] Shen L, Liang R, Wu L. Strategies for engineering metal-organic frameworks as efficient photocatalysts. *Chinese Journal of Catalysis*. 2015; 36(12): 2071-2088.

- perspectives. *Journal of Materials Chemistry A*. 2019; 7(29): 17079-95.  
<https://doi.org/10.1039/C9TA03595H>
- [15] Konnerth H, Matsagar BM, Chen SS, Prechtl MH, Shieh FK, Wu KC. Metal-organic framework (MOF)-derived catalysts for fine chemical production. *Coordination Chemistry Reviews*. 2020; 416: 213319.  
<https://doi.org/10.1016/j.ccr.2020.213319>
- [16] Yu X, Tang Z, Sun D, Ouyang L, Zhu M. Recent advances and remaining challenges of nanostructured materials for hydrogen storage applications. *Progress in Materials Science*. 2017; 88: 1-48.  
<https://doi.org/10.1016/j.pmatsci.2017.03.001>
- [17] Liao YT, Ishiguro N, Young AP, Tsung CK, Wu KC. Engineering a homogeneous alloy-oxide interface derived from metal-organic frameworks for selective oxidation of 5-hydroxymethylfurfural to 2, 5-furandicarboxylic acid. *Applied Catalysis B: Environmental*. 2020; 270: 118805.  
<https://doi.org/10.1016/j.apcatb.2020.118805>
- [18] Iranmanesh M, Akhijahani HS, Jahromi MS. CFD modeling and evaluation the performance of a solar cabinet dryer equipped with evacuated tube solar collector and thermal storage system. *Renewable Energy*. 2020; 145: 1192-1213.  
<https://doi.org/10.1016/j.renene.2019.06.038>
- [19] Andersson J, Grönkvist S. Large-scale storage of hydrogen. *International journal of hydrogen energy*. 2019; 44(23):11901-11919.  
<https://doi.org/10.1016/j.ijhydene.2019.03.063>
- [20] Jahromi MS, Iranmanesh M, Akhijahani HS. Thermo-economic analysis of solar drying of Jerusalem artichoke (*Helianthus tuberosus L.*) integrated with evacuated tube solar collector and phase change material. *Journal of*

templated carbons (ZTC) and their metal organic framework (MOF) composites for improved hydrogen storage properties. *Frontiers in Chemistry*. 2019; 7: 864. <https://doi.org/10.3389/fchem.2019.00864>

[34] Ibarra IA, Yang S, Lin X, Blake AJ, Rizkallah PJ, Nowell H, Allan DR, Champness NR, Hubberstey P, Schröder M. Highly porous and robust scandium-based metal-organic frameworks for hydrogen storage. *Chemical Communications*. 2011; 47(29): 8304-8306. <https://doi.org/10.1039/C1CC11168J>

[35] Wang Y, Lan Z, Huang X, Liu H, Guo J. Study on catalytic effect and mechanism of MOF (MOF= ZIF-8, ZIF-67, MOF-74) on hydrogen storage properties of magnesium. *International Journal of Hydrogen Energy*. 2019; 44(54): 28863-28873. <https://doi.org/10.1016/j.ijhydene.2019.09.110>

[36] Musyoka NM, Ren J, Langmi HW, North BC, Mathe M, Bessarabov D. Synthesis of rGO/Zr-MOF composite for hydrogen storage application. *Journal of Alloys and Compounds*. 2017; 724: 450-455. <https://doi.org/10.1016/j.jallcom.2017.07.040>

[37] Choi HJ, Dincă M, Dailly A, Long JR. Hydrogen storage in water-stable metal-organic frameworks incorporating 1, 3-and 1, 4-benzenedipyrrozole. *Energy & Environmental Science*. 2010; 3(1): 117-23. <https://doi.org/10.1039/B917512A>

[38] Ahmed I, Jhung SH. Composites of metal-organic frameworks: preparation and application in adsorption. *Materials today*. 2014; 17(3): 136-146. <https://doi.org/10.1016/j.mattod.2014.03.002>

[39] Chen S, Li Y, Mi L. Porous carbon derived from metal organic framework for gas storage and separation: the size effect. *Inorganic Chemistry Communications*. 2020; 118: 107999.

[https://doi.org/10.1016/S1872-2067\(15\)60984-6](https://doi.org/10.1016/S1872-2067(15)60984-6)

[28] Kassaoui ME, Lakhal M, Abdellaoui M, Benyoussef A, El Kenz A, Loulidi M. Modeling hydrogen adsorption in the metal organic framework (MOF-5, connector):  $Zn_4O (C_8H_4O_4)_3$ . *International Journal of Hydrogen Energy*. 2020; 45(58): 33663-33674. <https://doi.org/10.1016/j.ijhydene.2020.03.168>

[29] Yu S, Jing G, Li S, Li Z, Ju X. Tuning the hydrogen storage properties of MOF-650: a combined DFT and GCMC simulations study. *International Journal of Hydrogen Energy*. 2020; 45(11): 6757-6764. <https://doi.org/10.1016/j.ijhydene.2019.12.114>

[30] Rochat S, Polak-Kraśna K, Tian M, Holyfield LT, Mays TJ, Bowen CR, Burrows AD. Hydrogen storage in polymer-based processable microporous composites. *Journal of Materials Chemistry A*. 2017; 5(35): 18752-18761. <https://doi.org/10.1039/C7TA05232D>

[31] Sumida K, Horike S, Kaye SS, Herm ZR, Queen WL, Brown CM, Grandjean F, Long GJ, Dailly A, Long JR. Hydrogen storage and carbon dioxide capture in an iron-based sodalite-type metal-organic framework (Fe-BTT) discovered via high-throughput methods. *Chemical Science*. 2010; 1(2): 184-191. <https://doi.org/10.1039/C0SC00179A>

[32] Bambalaza SE, Langmi HW, Mokaya R, Musyoka NM, Khotseng LE. Experimental demonstration of dynamic temperature-dependent behavior of UiO-66 metal-organic framework: compaction of hydroxylated and dehydroxylated forms of UiO-66 for high-pressure hydrogen storage. *ACS applied materials & interfaces*. 2020; 12(22), 24883-24894. <https://doi.org/10.1021/acsami.0c06080>

[33] Molefe LY, Musyoka NM, Ren J, Langmi HW, Mathe M, Ndungu PG. Polymer-based shaping strategy for zeolite

<https://doi.org/10.1021/acs.inorgchem.8b01607>

[46] Morassaei MS, Salehabadi A, Salavati-Niasari M, Akbari A. Preparation, structural analysis, and assessing the impacts of holmium and ytterbium on electrochemical hydrogen storage property of strontium cerium molybdate nanostructures. *Electrochimica Acta*. 2020; 356: 136851.  
<https://doi.org/10.1016/j.electacta.2020.136851>

[47] Yang Z, Xiong W, Wang J, Zhu Y, Xia Y. A Systematic Study on the Preparation and Hydrogen Storage of Zeolite 13X-Templated Microporous Carbons. *European Journal of Inorganic Chemistry*. 2016; 2016(13-14): 2152-2158.  
<https://doi.org/10.1002/ejic.201501180>

[48] Sreedhar I, Kamani KM, Kamani BM, Reddy BM, Venugopal A. A Bird's Eye view on process and engineering aspects of hydrogen storage. *Renewable and Sustainable Energy Reviews*. 2018; 91: 838-860.

<https://doi.org/10.1016/j.rser.2018.04.028>  
[49] Gómez-Gualdrón DA, Colón YJ, Zhang X, Wang TC, Chen YS, Hupp JT, Yildirim T, Farha OK, Zhang J, Snurr RQ. Evaluating topologically diverse metal-organic frameworks for cryo-adsorbed hydrogen storage. *Energy & Environmental Science*. 2016; 9(10): 3279-3289.  
<https://doi.org/10.1039/C6EE02104B>

[50] Gadielli S, Ford J, Zhou W, Wu H, Udo TJ, Yildirim T. Nanoconfinement and Catalytic Dehydrogenation of Ammonia Borane by Magnesium-Metal-Organic-Framework-74. *Chemistry—A European Journal*. 2011; 17(22): 6043-6047.

<https://doi.org/10.1002/chem.201100090>  
[51] Lim DW, Yoon JW, Ryu KY, Suh MP. Magnesium nanocrystals embedded in a metal-organic framework: Hybrid hydrogen storage with synergistic effect on physi-and chemisorption. *Angewandte*

<https://doi.org/10.1016/j.inoche.2020.107999>

[40] Orcajo G, Montes-Andres H, Villajos JA, Martos C, Botas JA, Calleja G. Li-Crown ether complex inclusion in MOF materials for enhanced H<sub>2</sub> volumetric storage capacity at room temperature. *international journal of hydrogen energy*. 2019; 44(35): 19285-19293.  
<https://doi.org/10.1016/j.ijhydene.2018.03.151>

[41] Xia L, Liu Q. Adsorption of H<sub>2</sub> on aluminum-based metal-organic frameworks: A computational study. *Computational Materials Science*. 2017; 126: 176-181.  
<https://doi.org/10.1016/j.commatsci.2016.09.039>

[42] Musyoka NM, Rambau KM, Manyala N, Ren J, Langmi HW, Mathe MK. Utilization of waste tyres pyrolysis oil vapour in the synthesis of Zeolite Templatized Carbons (ZTCs) for hydrogen storage application. *Journal of Environmental Science and Health, Part A*. 2018; 53(11):1022-1028.  
<https://doi.org/10.1080/10934529.2018.1471099>

[43] Ahmed A, Liu Y, Purewal J, Tran LD, Wong-Foy AG, Veenstra M, Matzger AJ, Siegel DJ. Balancing gravimetric and volumetric hydrogen density in MOFs. *Energy & Environmental Science*. 2017; 10(11): 2459-2471.  
<https://doi.org/10.1039/C7EE02477K>

[44] Grünker R, Bon V, Müller P, Stoeck U, Krause S, Mueller U, Senkovska I, Kaskel S. A new metal-organic framework with ultra-high surface area. *Chemical Communications*. 2014; 50(26): 3450-3452. <https://doi.org/10.1039/C4CC00113C>

[45] Yan Y, Da Silva I, Blake AJ, Dailly A, Manuel P, Yang S, Schroder M. High volumetric hydrogen adsorption in a porous anthracene-decorated metal-organic framework. *Inorganic Chemistry*. 2018; 57(19): 12050-12055.

- Russian Chemical Reviews. 2016; 85(3): 280. doi: 10.1070/RCR4554
- [59] Broom DP, Webb CJ, Fanourgakis GS, Froudakis GE, Trikalitis PN, Hirscher M. Concepts for improving hydrogen storage in nanoporous materials. International journal of hydrogen energy. 2019; 44(15): 7768-7779. <https://doi.org/10.1016/j.ijhydene.2019.01.224>
- [60] Kumar S, Kumar TD. Hydrogen trapping potential of Ca decorated metal-graphyne framework. Energy. 2020; 199: 117453. <https://doi.org/10.1016/j.energy.2020.117453>
- [61] Ma LJ, Wang J, Han M, Jia J, Wu HS, Zhang X. Adsorption of multiple H<sub>2</sub> molecules on the complex TiC<sub>6</sub>H<sub>6</sub>: An unusual combination of chemisorption and physisorption. Energy. 2019; 171: 315-325. <https://doi.org/10.1016/j.energy.2019.01.018>
- [62] Abdellaoui M, Lakhali M, Benzidi H, Garara M, Benyoussef A, El Kenz A, Mounkachi O, Loulidi M, Ez-Zahraouy H. Enhancing of hydrogen storage properties of perovskite-type MgNiH<sub>3</sub> by introducing cobalt dopant (MgCo<sub>x</sub>Ni<sub>1-x</sub>H<sub>3</sub>) using first-principle calculations. Applied Physics A. 2019; 125(11): 1-8. <https://doi.org/10.1007/s00339-019-3052-4>
- [63] Boateng E, Chen A. Recent advances in nanomaterial-based solid-state hydrogen storage. Materials Today Advances. 2020; 6: 100022. <https://doi.org/10.1016/j.mtadv.2019.100022>
- [64] Moradi R, Groth KM. Hydrogen storage and delivery: Review of the state of the art technologies and risk and reliability analysis. International Journal of Hydrogen Energy. 2019; 44(23): 12254-12269. <https://doi.org/10.1016/j.ijhydene.2019.03.041>
- [65] Lototskyy M, Yartys VA. Comparative analysis of the efficiencies of hydrogen storage systems utilising solid Chemie International Edition. 2012; 51(39): 9814-9817. <https://doi.org/10.1002/anie.201206055>
- [52] Zhou H, Zhang J, Zhang J, Yan XF, Shen XP, Yuan AH. Spillover enhanced hydrogen storage in Pt-doped MOF/graphene oxide composite produced via an impregnation method. Inorganic Chemistry Communications. 2015; 54: 54-56. <https://doi.org/10.1016/j.inoche.2015.02.001>
- [53] Guo JH, Li SJ, Su Y, Chen G. Theoretical study of hydrogen storage by spillover on porous carbon materials. International Journal of Hydrogen Energy. 2020; 45(48): 25900-25911. <https://doi.org/10.1016/j.ijhydene.2019.12.146>
- [54] Ensafi AA, Jafari-Asl M, Nabiyan A, Rezaei B, Dinari M. Hydrogen storage in hybrid of layered double hydroxides/reduced graphene oxide using spillover mechanism. Energy. 2016; 99: 103-114. <https://doi.org/10.1016/j.energy.2016.01.042>
- [55] Barghi Jahromi MS, Kalantar V, Sefid M, Iranmanesh M, Samimi Akhijahani H. Experimental study of phase change process of the paraffin as a PCM with copper foam and iron wool. Journal of Renewable Energy and Environment. 2023. 10.30501/jree.2023.365995.1483
- [56] Bon V, Senkovska I, Kaskel S. Metal-organic frameworks. Nanoporous Materials for Gas Storage. 2019; 137-72. [https://doi.org/10.1007/978-981-13-3504-4\\_6](https://doi.org/10.1007/978-981-13-3504-4_6)
- [57] Rocío-Bautista P, Taima-Mancera I, Pasán J, Pino V. Metal-organic frameworks in green analytical chemistry. Separations. 2019; 6(3): 33. <https://doi.org/10.3390/separations6030033>
- [58] Butova VV, Soldatov MA, Guda AA, Lomachenko KA, Lamberti C. Metal-organic frameworks: structure, properties, methods of synthesis and characterization.

<https://doi.org/10.1016/j.apsusc.2017.08.126>

[72] Yuan L, Chen Y, Kang L, Zhang C, Wang D, Wang C, Zhang M, Wu X. First-principles investigation of hydrogen storage capacity of Y-decorated porous graphene. *Applied Surface Science*. 2017; 399: 463-468.

<https://doi.org/10.1016/j.apsusc.2016.12.054>

[73] Yu S, Li S, Meng X, Wan C, Ju X. Tuning the hydrogen adsorption properties of Zn-based metal-organic frameworks: Combined DFT and GCMC simulations. *Journal of Solid State Chemistry*. 2018; 266: 31-36.

<https://doi.org/10.1016/j.jssc.2018.04.033>

[74] Dong X, Liu X, Chen Y, Zhang M. Screening of bimetallic M-Cu-BTC MOFs for CO<sub>2</sub> activation and mechanistic study of CO<sub>2</sub> hydrogenation to formic acid: a DFT study. *Journal of CO<sub>2</sub> Utilization*. 2018; 24: 64-72.

<https://doi.org/10.1016/j.jcou.2017.11.014>

[75] Hao P, Shi Y, Li S, Zhu X, Cai N. Adsorbent characteristic regulation and performance optimization for pressure swing adsorption via temperature elevation. *Energy & Fuels*. 2018; 33(3): 1767-1773.

<https://doi.org/10.1021/acs.energyfuels.8b02829>

[76] Kaur G, Rai RK, Tyagi D, Yao X, Li PZ, Yang XC, Zhao Y, Xu Q, Singh SK. Room-temperature synthesis of bimetallic Co-Zn based zeolitic imidazolate frameworks in water for enhanced CO<sub>2</sub> and H<sub>2</sub> uptakes. *Journal of Materials Chemistry A*. 2016; 4(39): 14932-14938.

<https://doi.org/10.1039/C6TA04342A>

[77] Kapelewski MT, Runc̄evski T, Tarver JD, Jiang HZ, Hurst KE, Parilla PA, Ayala A, Gennett T, FitzGerald SA, Brown CM, Long JR. Record high hydrogen storage capacity in the metal-organic framework Ni<sub>2</sub> (m-dobdc) at near-ambient temperatures. *Chemistry of materials*. 2018; 30(22): 8179-8189.

state H storage materials. *Journal of Alloys and Compounds*. 2015; 645: S365-S373.

<https://doi.org/10.1016/j.jallcom.2014.12.107>

[66] Liu J, Zou R, Zhao Y. Recent developments in porous materials for H<sub>2</sub> and CH<sub>4</sub> storage. *Tetrahedron Letters*. 2016; 57(44): 4873-4881.

<https://doi.org/10.1016/j.tetlet.2016.09.085>

[67] Akhijahani HS, Salami P, Iranmanesh M, Jahromi MS. Experimental study on the solar drying of Rhubarb (*Rheum ribes L.*) with parabolic trough collector assisted with air recycling system, nanofluid and energy storage system. *Journal of Energy Storage*. 2023; 60: 106451.

<https://doi.org/10.1016/j.est.2022.106451>

[68] Bucior BJ, Bobbitt NS, Islamoglu T, Goswami S, Gopalan A, Yildirim T, Farha OK, Bagheri N, Snurr RQ. Energy-based descriptors to rapidly predict hydrogen storage in metal-organic frameworks. *Molecular Systems Design & Engineering*. 2019; 4(1): 162-174.

<https://doi.org/10.1039/C8ME00050F>

[69] Petitpas G, Bénard P, Klebanoff LE, Xiao J, Aceves S. A comparative analysis of the cryo-compression and cryo-adsorption hydrogen storage methods. *International journal of hydrogen energy*. 2014; 39(20): 10564-10584.

<https://doi.org/10.1016/j.ijhydene.2014.04.200>

[70] Aceves SM, Espinosa-Loza F, Ledesma-Orozco E, Ross TO, Weisberg AH, Brunner TC, Kircher O. High-density automotive hydrogen storage with cryogenic capable pressure vessels. *International Journal of Hydrogen Energy*. 2010; 35(3): 1219-1226.

<https://doi.org/10.1016/j.ijhydene.2009.11.069>

[71] Wang L, Chen X, Du H, Yuan Y, Qu H, Zou M. First-principles investigation on hydrogen storage performance of Li, Na and K decorated borophene. *Applied Surface Science*. 2018; 427: 1030-1037.

<https://doi.org/10.1021/acs.chemmater.8b03276>

[78] Ma LJ, Wang J, Han M, Jia J, Wu HS, Zhang X. Adsorption of multiple H<sub>2</sub> molecules on the complex TiC<sub>6</sub>H<sub>6</sub>: An unusual combination of chemisorption and physisorption. *Energy*. 2019; 171:315-325. <https://doi.org/10.1016/j.energy.2019.01.018>

[79] Jahromi MS, Kalantar V, Sefid M, Akhijahani HS, Iranmanesh M. Energy and exergy analysis of an unglazed transpired collector connected to a dryer with a porous plate and phase change material. *Journal of Energy Storage*. 2023;60:106693. <https://doi.org/10.1016/j.est.2023.106693>

[80] Jahromi MS, Kalantar V, Akhijahani HS, Kargarsharifabad H, Shoeibi S. Performance analysis of a new solar air ventilator with phase change material: Numerical simulation, techno-economic and environmental analysis. *Journal of Energy Storage*. 2023; 62: 106961. <https://doi.org/10.1016/j.est.2023.106961>



## A review of the application of nanostructures based on metal-organic frameworks in hydrogen absorption and storage

H.Barghi Jahromi, M. Rahmani\*, M.S. Barghi Jahromi\*

1. Department of Chemistry, Faculty of Sciences, University of Sistan and Baluchestan, Zahedan, Iran

2. Mechanical Engineering, Energy Conversion, Yazd University, Yazd, Iran.

### Abstract:

Hydrogen has the potential to be a promising clean energy source to replace non-renewable fossil fuels. The inability to store hydrogen effectively and safety concerns are what prevent it from being used as a substitute fuel. Current hydrogen capture systems, such as small and liquid storage, are too expensive for use in practical applications. Metal-organic frameworks (MOFs) are crystalline substances with a huge surface area, a high porosity, and excellent hydrogen absorption. The physiological adsorption of hydrogen in MOFs is brought on by a weak van der Waals attractive attraction, which is easily reversible with the right amount of heat or pressure. It has been looked at how to improve the surface area, as well as the ability of MOFs to absorb hydrogen. The hydrogen overflow mechanism has been shown to offer high-density storage in comparison to other systems. In order to turn hydrogen that has been stored into energy, MOFs can be utilized as proton exchange membranes and electrodes for fuel cells. Because MOFs have a low conductivity, doping allows for their use in fuel cells. Thus, by converting carbon into fuel cells, this eco-friendly technology can aid in reducing carbon in industrial settings. Additionally, the capacity of hydrogen to be absorbed as a fuel for hydrogen cars must fall within the range (100 bar or less). The primary methods that could improve hydrogen storage for using hydrogen as a fuel were covered in this study, along with the possibility for further advancement to satisfy future energy demands.

### Keywords:

parameters affecting storage, metal-organic frameworks, hydrogen storage, mechanism, hydrogen.